

Verlässliche Echtzeitsysteme

Verifikation nicht-funktionaler Eigenschaften

Peter Ulbrich

Friedrich-Alexander-Universität Erlangen-Nürnberg
Lehrstuhl Informatik 4 (Verteilte Systeme und Betriebssysteme)
www4.informatik.uni-erlangen.de

02. Juni 2015



Übersicht und Problemstellung

Abstrakte Interpretation und Design-by-Contract sind nicht genug!

- Bislang stand Verifikation des korrekten Verhaltens im Vordergrund
 - **Abstrakte Interpretation:**
Abwesenheit von Laufzeitfehlern (Sprachstandard, nicht-funktional)
 - **Design-by-Contract:**
Korrekttheitsaussagen über Vor- und Nachbedingungen (funktional)



- Bislang stand Verifikation des korrekten Verhaltens im Vordergrund
 - **Abstrakte Interpretation:**
Abwesenheit von Laufzeitfehlern (Sprachstandard, nicht-funktional)
 - **Design-by-Contract:**
Korrekttheitsaussagen über Vor- und Nachbedingungen (funktional)
- ⚠ Dies ist **notwendig** jedoch **nicht hinreichend**
 - Einfluss nicht-funktionaler Eigenschaften der Ausführungsumgebung
 - Anwendung ist in die Umwelt eingebettet!
 - Exemplarisch: **Speicherverbrauch** und **Laufzeit**



Übersicht und Problemstellung

Abstrakte Interpretation und Design-by-Contract sind nicht genug!

- Bislang stand Verifikation des korrekten Verhaltens im Vordergrund
 - **Abstrakte Interpretation:**
Abwesenheit von Laufzeitfehlern (Sprachstandard, nicht-funktional)
 - **Design-by-Contract:**
Korrekttheitsaussagen über Vor- und Nachbedingungen (funktional)
- ⚠ Dies ist **notwendig** jedoch **nicht hinreichend**
 - Einfluss nicht-funktionaler Eigenschaften der Ausführungsumgebung
 - Anwendung ist in die Umwelt eingebettet!
 - Exemplarisch: **Speicherverbrauch** und **Laufzeit**
- 👉 Einhaltung bestimmter **nicht-funktionaler Eigenschaften** garantieren?
 - Speicherverbrauch: **Worst-Case Stack Usage** (WCSU)
 - Laufzeit: **Worst-Case Execution Time** (WCET)
 - Messung versus statische Analyse



1 Übersicht und Problemstellung

2 Speicherverbrauch

- Überblick
- Messbasierte Bestimmung
- Analytische Bestimmung

3 Ausführungszeit

- Überblick
- Dynamische WCET-Messung
- Statische WCET-Analyse

4 Zusammenfassung

5 Wiederholung: Redundanz



Betrachtung des Speicherverbrauchs nach Lokalität:

- Festwertspeicher (engl. *Read Only Memory, ROM*)
 - Umfasst die Übersetzungseinheiten (**Funktionen** und **Konstanten**)
 - **Architekturabhängig** (Wortbreite, Optimierungsstufe, Inlineing, ...)
 - Größe ist dem Compiler/Linker **statisch** bekannt:
`gcc -Wl,-Map,PROGRAM.map *.o -o PROGRAM`

Betrachtung des Speicherverbrauchs nach Lokalität:

- Festwertspeicher (engl. *Read Only Memory, ROM*)
 - Umfasst die Übersetzungseinheiten (**Funktionen** und **Konstanten**)
 - **Architekturabhängig** (Wortbreite, Optimierungsstufe, Inlineing, ...)
 - Größe ist dem Compiler/Linker **statisch** bekannt:
`gcc -Wl,-Map,PROGRAM.map *.o -o PROGRAM`
- Direktzugriffsspeicher (engl. *Random Access Memory, RAM*)
 - In eingebetteten Systemen typischerweise statisch allokiert (**globale Variablen & Stapspeicher**-Konfiguration)
 - Permanenter Verbrauch (**architekturabhängig**) ebenso **statisch** bekannt



Betrachtung des Speicherverbrauchs nach Lokalität:

- Festwertspeicher (engl. *Read Only Memory, ROM*)
 - Umfasst die Übersetzungseinheiten (**Funktionen** und **Konstanten**)
 - **Architekturabhängig** (Wortbreite, Optimierungsstufe, Inlineing, ...)
 - Größe ist dem Compiler/Linker **statisch** bekannt:
`gcc -Wl,-Map,PROGRAM.map *.o -o PROGRAM`
- Direktzugriffsspeicher (engl. *Random Access Memory, RAM*)
 - In eingebetteten Systemen typischerweise statisch allokiert (**globale Variablen & Stapspeicher**-Konfiguration)
 - Permanenter Verbrauch (**architekturabhängig**) ebenso **statisch** bekannt

Dynamischer Speicher in eingebetteten Systemen

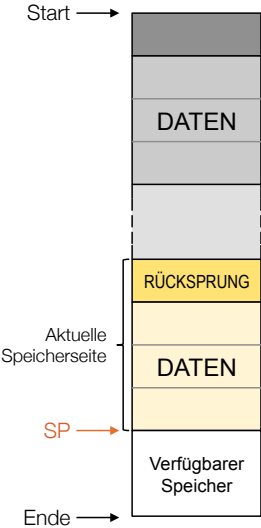
Wird typischerweise auf den **Stapspeicher** (engl. *Stack*) abgebildet



Der Stapspeicher (Stack)

Dynamische Nutzung von Speicher ist eingebetteten Systemen

- Stapspeicher wird verwendet für:
 - Lokale Variablen und Zwischenwerte
 - Funktionsparameter
 - Rücksprungadressen



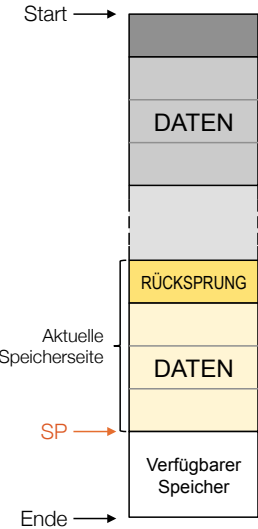
Der Stapspeicher (Stack)

Dynamische Nutzung von Speicher ist eingebetteten Systemen

- Stapspeicher wird verwendet für:
 - Lokale Variablen und Zwischenwerte
 - Funktionsparameter
 - Rücksprungadressen



Größe wird zur Übersetzungszeit festgelegt



Der Stapspeicher (Stack)

Dynamische Nutzung von Speicher ist eingebetteten Systemen

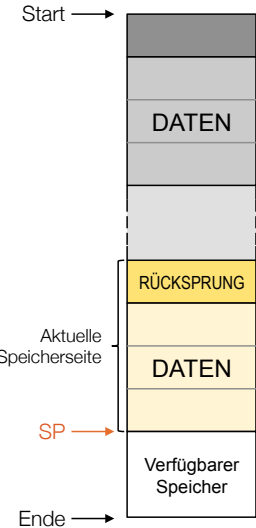
- Stapspeicher wird verwendet für:
 - Lokale Variablen und Zwischenwerte
 - Funktionsparameter
 - Rücksprungadressen



Größe wird zur Übersetzungszeit festgelegt

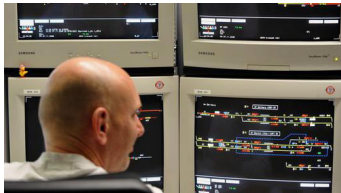
Fehlerquelle Stapspeicher

- Unterdimensionierung \leadsto Überlauf
- Größenbestimmung \approx Halteproblem



Problem: Maximaler Speicherverbrauch

Fallbeispiel: Stellwerk Hamburg-Altona [6]



■ Elektronisches Stellwerk

- Hersteller: Siemens
- Simis-3216 (i486)
- Inbetriebnahme: 12. März 1995
- Kosten: 62,6 Mio DM
- Ersetzte 8 Stellwerke (1911-52)

Problem: Maximaler Speicherverbrauch

Fallbeispiel: Stellwerk Hamburg-Altona [6]



■ Elektronisches Stellwerk

- Hersteller: Siemens
- Simis-3216 (i486)
- Inbetriebnahme: 12. März 1995
- Kosten: 62,6 Mio DM
- Ersetzte 8 Stellwerke (1911-52)



Dynamische Verwaltung der Stellbefehle auf dem Stapelspeicher

- Initial 3.5 KiB \sim **zu klein** schon für normalen Verkehr
- Fehlerbehandlungsroutine fehlerhaft \sim **Endlosschleife**
- Notabschaltung durch Sicherungsmaßnahmen (fail-stop)



Problem: Maximaler Speicherverbrauch

Fallbeispiel: Stellwerk Hamburg-Altona [6]



■ Elektronisches Stellwerk

- Hersteller: Siemens
- Simis-3216 (i486)
- Inbetriebnahme: 12. März 1995
- Kosten: 62,6 Mio DM
- Ersetzte 8 Stellwerke (1911-52)



Dynamische Verwaltung der Stellbefehle auf dem Stapelspeicher

- Initial 3.5 KiB \sim **zu klein** schon für normalen Verkehr
- Fehlerbehandlungsroutine fehlerhaft \sim **Endlosschleife**
- Notabschaltung durch Sicherungsmaßnahmen (fail-stop)

Ausfall am Tag der Inbetriebnahme

Kein Schienenverkehr für **2 Tage**, 2 Monate Notfahrplan



Bestimmung des Stapelspeicherverbrauchs

- Überabschätzung führt zu **unnötigen Kosten**



Bestimmung des Stapelspeicherverbrauchs

- Überabschätzung führt zu **unnötigen Kosten**
- ⚠ Unterabschätzung des Speicherverbrauchs führt zu **Stapelüberlauf**
 - Schwerwiegendes und komplexes Fehlermuster
 - Undefiniertes Verhalten, **Datenfehler** oder Programmabsturz
 - Schwer zu finden, reproduzieren und beheben!



- Überabschätzung führt zu **unnötigen Kosten**
- ⚠ Unterabschätzung des Speicherverbrauchs führt zu **Stapelüberlauf**
 - Schwerwiegendes und komplexes Fehlermuster
 - Undefiniertes Verhalten, **Datenfehler** oder Programmabsturz
 - Schwer zu finden, reproduzieren und beheben!
- Voraussetzungen für sinnvolle Analyse
 - Zyklische Ausführungspfade vermeiden
 - Keine **Rekursion**, **Funktionszeiger**, **dynamischer Speicher**



- Überabschätzung führt zu **unnötigen Kosten**
- ⚠ Unterabschätzung des Speicherverbrauchs führt zu **Stapelüberlauf**
 - Schwerwiegendes und komplexes Fehlermuster
 - Undefiniertes Verhalten, **Datenfehler** oder Programmabsturz
 - Schwer zu finden, reproduzieren und beheben!
- Voraussetzungen für sinnvolle Analyse
 - Zyklische Ausführungspfade vermeiden
 - Keine **Rekursion**, **Funktionszeiger**, **dynamischer Speicher**
- ⚠ Analyse gängiger Compiler
 - `gcc -fstack-usage` ist **nicht genug**
 - Richtwert bei der Entwicklung einzelner Funktionen

Messung des Stapelspeicherverbrauchs

Analog zum dynamischen Testen (siehe Folie IV/10 ff.)

■ Messung (Water-Marking, Stack Canaries)

- Stapelspeicher wird **vorinitialisiert** (z.B. 0xDEADBEEF)
- Maximaler Verbrauch **der Ausführung**
~ höchste Speicherstelle ohne Wasserzeichen
- Auf Rücksprungadressen anwendbar



Messung des Stapelspeicherverbrauchs

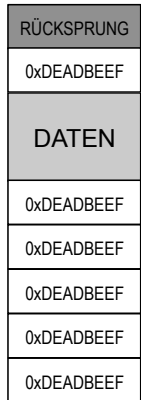
Analog zum dynamischen Testen (siehe Folie IV/10 ff.)

■ Messung (Water-Marking, Stack Canaries)

- Stapelspeicher wird **vorinitialisiert** (z.B. 0xDEADBEEF)
- Maximaler Verbrauch **der Ausführung**
→ höchste Speicherstelle ohne Wasserzeichen
- Auf Rücksprungadressen anwendbar

■ Systemüberwachung zur Laufzeit

- Verfahren gut geeignet zur dynamischen Fehlererkennung
- **Stack Check** (o.ä.) in AUTOSAR, OSEK, ...



Messung des Stapelspeicherverbrauchs

Analog zum dynamischen Testen (siehe Folie IV/10 ff.)

■ Messung (Water-Marking, Stack Canaries)

- Stapelspeicher wird **vorinitialisiert** (z.B. 0xDEADBEEF)
- Maximaler Verbrauch **der Ausführung**
→ höchste Speicherstelle ohne Wasserzeichen
- Auf Rücksprungadressen anwendbar

■ Systemüberwachung zur Laufzeit

- Verfahren gut geeignet zur dynamischen Fehlererkennung
- **Stack Check** (o.ä.) in AUTOSAR, OSEK, ...

⚠ Keine Aussagen zum maximalen Speicherverbrauch

- Liefert nur den konkreten Verbrauch der Messungen
- **Fehleranfällig** und **aufwendig**
- Keine Garantien möglich!

RÜCKSPRUNG
0xDEADBEEF
DATEN
0xDEADBEEF



```
1 unsigned int function(unsigned char a, unsigned char b) {  
2     unsigned int c;  
3     unsigned char d;  
4     /* code */  
5     return c;  
6 }
```



Ausführungsbedingungen bestimmen tatsächlichen Speicherbedarf



```
1 unsigned int function(unsigned char a, unsigned char b) {  
2     unsigned int c;  
3     unsigned char d;  
4     /* code */  
5     return c;  
6 }
```



Ausführungsbedingungen bestimmen tatsächlichen Speicherbedarf

- Speicherausrichtung (engl. *alignment*) von Variablen und Parametern
 - Abhängig von Binärschnittstelle (engl. *Application Binary Interface, ABI*)
 - In diesem Beispiel 16 Byte (und mehr)



```
1 unsigned int function(unsigned char a, unsigned char b) {  
2     unsigned int c;  
3     unsigned char d;  
4     /* code */  
5     return c;  
6 }
```



Ausführungsbedingungen bestimmen tatsächlichen Speicherbedarf

- Speicherausrichtung (engl. *alignment*) von Variablen und Parametern
 - Abhängig von Binärschnittstelle (engl. *Application Binary Interface, ABI*)
 - In diesem Beispiel 16 Byte (und mehr)
- Aufrufort der Funktion unbekannt
 - Segmentierung kann zu nahen und fernen Aufrufen führen
 - ~~> Rücksprungadressen unterschiedlicher Größen



```
1 unsigned int function(unsigned char a, unsigned char b) {  
2     unsigned int c;  
3     unsigned char d;  
4     /* code */  
5     return c;  
6 }
```



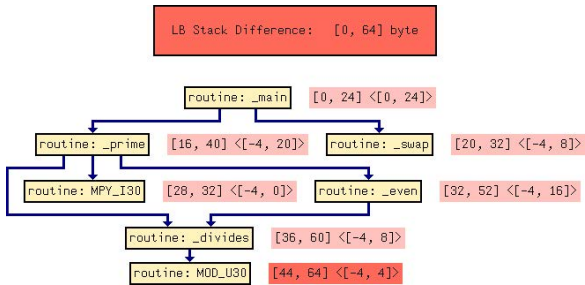
Ausführungsbedingungen bestimmen tatsächlichen Speicherbedarf

- Speicherausrichtung (engl. *alignment*) von Variablen und Parametern
 - Abhängig von Binärschnittstelle (engl. *Application Binary Interface, ABI*)
 - In diesem Beispiel 16 Byte (und mehr)
- Aufrufort der Funktion unbekannt
 - Segmentierung kann zu nahen und fernen Aufrufen führen
 - ~~ Rücksprungadressen unterschiedlicher Größen
- Inline-Ersetzung der Funktion (kein Stapelverbrauch für Aufruf)



Bestimmung des maximalen Stapelspeicherverbrauchs

Durch abstrakte Interpretation des Programmcodes [1, 4]



- Statische Analyse des **Kontrollfluss-** und **Aufrufgraphen**
 - Pufferüberlauf als weitere Form von Laufzeitfehler
 - Vorgehen analog zum Korrektheitsnachweis
- Weist **Abwesenheit** von Pufferüberläufen nach
 - Pfadanalyse \leadsto Maximaler Speicherverbrauch
 - Ausrollen von Schleifen (siehe Folie VI/5)
 - Partitionierung und Werteanalyse (siehe Folie VI/6)



1 Übersicht und Problemstellung

2 Speicherverbrauch

- Überblick
- Messbasierte Bestimmung
- Analytische Bestimmung

3 Ausführungszeit

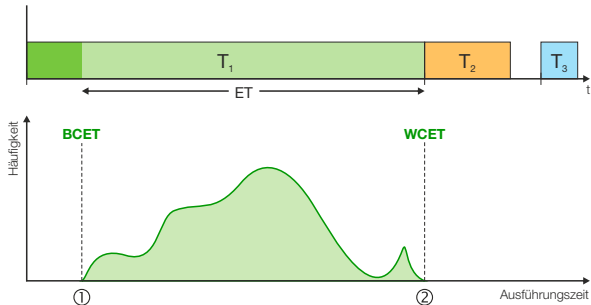
- Überblick
- Dynamische WCET-Messung
- Statische WCET-Analyse

4 Zusammenfassung

5 Wiederholung: Redundanz

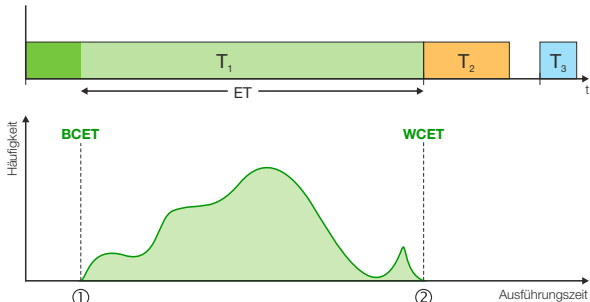


Die maximalen Ausführungszeit



- Alle sprechen von der maximalen Ausführungszeit (e)
 - Worst Case Execution Time (WCET) e_i (vgl. [5] Folie III-2/28)
 - Unabdingbares Maß für zulässigen Ablaufplan (vgl. [5] Folie III-2/33)

Die maximalen Ausführungszeit



- Alle sprechen von der maximalen Ausführungszeit (e)
 - Worst Case Execution Time (WCET) e_i (vgl. [5] Folie III-2/28)
 - Unabdingbares Maß für zulässigen Ablaufplan (vgl. [5] Folie III-2/33)
- Tatsächliche Ausführungszeit bewegt sich zwischen:
 - 1 bestmöglicher Ausführungszeit (Best Case Execution Time, BCET)
 - 2 schlechtest möglicher Ausführungszeit (besagter WCET)



Warum ist es so schwierig, die WCET zu bestimmen?

Anders: Wovon hängt die maximale Ausführungszeit eigentlich ab?

Beispiel: Bubblesort

```
void bubbleSort(int a[],int size) {  
    int i,j;  
  
    for(i = size - 1; i > 0; --i) {  
        for (j = 0; j < i; ++j) {  
            if(a[j] > a[j+1]) {  
                swap(&a[j],&a[j+1]);  
            }  
        }  
    }  
    return;  
}
```



Warum ist es so schwierig, die WCET zu bestimmen?

Anders: Wovon hängt die maximale Ausführungszeit eigentlich ab?

Beispiel: Bubblesort

```
void bubbleSort(int a[], int size) {  
    int i, j;  
  
    for(i = size - 1; i > 0; --i) {  
        for (j = 0; j < i; ++j) {  
            if(a[j] > a[j+1]) {  
                swap(&a[j], &a[j+1]);  
            }  
        }  
    }  
    return;  
}
```

Programmiersprachenebene:

- Anzahl der Schleifendurchläufe hängt von der Größe des Feldes `a[]` ab
- Anzahl der Vertauschungen (`swap`) hängt vom Inhalt des Feldes ab
- **Exakte Vorhersage ist kaum möglich**
 - sowohl die Größe als auch der Inhalt des Felds kann zur Laufzeit variieren



Warum ist es so schwierig, die WCET zu bestimmen?

Anders: Wovon hängt die maximale Ausführungszeit eigentlich ab?

Beispiel: Bubblesort

```
void bubbleSort(int a[], int size) {  
    int i, j;  
  
    for(i = size - 1; i > 0; --i) {  
        for (j = 0; j < i; ++j) {  
            if(a[j] > a[j+1]) {  
                swap(&a[j], &a[j+1]);  
            }  
        }  
    }  
    return;  
}
```

Programmiersprachenebene:

- Anzahl der Schleifendurchläufe hängt von der Größe des Feldes `a[]` ab
- Anzahl der Vertauschungen (swap) hängt vom Inhalt des Feldes ab
- **Exakte Vorhersage ist kaum möglich**
 - sowohl die Größe als auch der Inhalt des Felds kann zur Laufzeit variieren

Maschinenprogrammebene liefert Dauer der Elementaroperationen:

- die Ausführungszeit von ADD, LOAD, ...
- ist **prozessorabhängig** und für moderne Prozessoren sehr schwierig
 - **Cache** ~ Liegt die Instruktion/das Datum im schnellen Cache?
 - **Pipeline** ~ Wie ist der Zustand der Pipeline an einer Instruktion?
 - **Out-of-Order-Execution, Branch-Prediction, Hyper-Threading**, ...



Messbasierte WCET-Analyse [3]



- Idee: der Prozessor selbst ist das präziseste Hardware-Modell
 - Führe das Programm aus und beobachte die Ausführungszeit!



Messbasierte WCET-Analyse [3]

- ☞ Idee: der Prozessor selbst ist das präziseste Hardware-Modell
 - Führe das Programm aus und beobachte die Ausführungszeit!
- Es besteht **Bedarf** für messbasierte Methoden:
 - **gängige Praxis** in der Industrie
 - nicht alle Echtzeitsysteme benötigen eine sichere WCET
 - z. B. Echtzeitsystem mit **weichen Zeitschränken**
 - lassen sich leicht an **neue Hardwareplattformen** anpassen
 - häufig ist kein geeignetes statisches Analysewerkzeug verfügbar
 - **geringer Aufwand für Annotationen**
 - verschafft leicht Orientierung über die tatsächliche Laufzeit
 - **sinnvolle Ergänzung** zur statischen WCET-Analyse
 - **Validierung** statisch bestimmter Werte
 - Ausgangspunkt für die Verbesserung der statischen Analyse



Messbasierte WCET-Analyse [3]

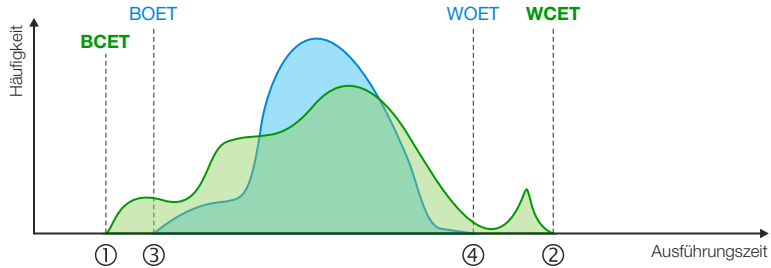
- ☞ Idee: der Prozessor selbst ist das präziseste Hardware-Modell
 - Führe das Programm aus und beobachte die Ausführungszeit!
- Es besteht **Bedarf** für messbasierte Methoden:
 - **gängige Praxis** in der Industrie
 - nicht alle Echtzeitsysteme benötigen eine sichere WCET
 - z. B. Echtzeitsystem mit **weichen Zeitschränken**
 - lassen sich leicht an **neue Hardwareplattformen** anpassen
 - häufig ist kein geeignetes statisches Analysewerkzeug verfügbar
 - **geringer Aufwand für Annotationen**
 - verschafft leicht Orientierung über die tatsächliche Laufzeit
 - **sinnvolle Ergänzung** zur statischen WCET-Analyse
 - **Validierung** statisch bestimmter Werte
 - Ausgangspunkt für die Verbesserung der statischen Analyse

Allerdings sollte man nicht „einfach drauf los messen“

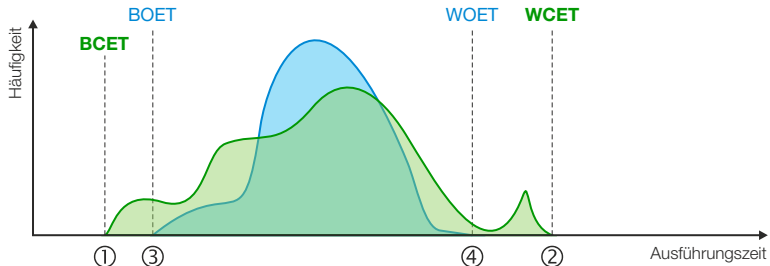
- ~~ z. B. immer Pfade vermessen (d. h. Ablauf und Zeit)
- ~~ auf einen definierten Startzustand achten



Messbasierte WCET-Analyse [3]



- Dynamische WCET-Analyse liefert **Messwerte**:
- 3 Bestmögliche beobachtete Ausführungszeit
(Best Observed Execution Time, **BOET**)
- 4 Schlechteste mögliche beobachtete Ausführungszeit
(Worst Observed Execution Time, **WOET**)



■ Probleme messbasierter Ansätze

- in der Praxis ist es unmöglich alle relevanten Pfade zu betrachten
- gewählte Testdaten führen nicht unbedingt zum längsten Pfad
- seltene Ausführungsszenarien werden nicht abgedeckt
- abschnittsweise WCET-Messung $\not\rightarrow$ globalen WCET
- Wiederherstellung des Hardwarezustandes schwierig/unmöglich

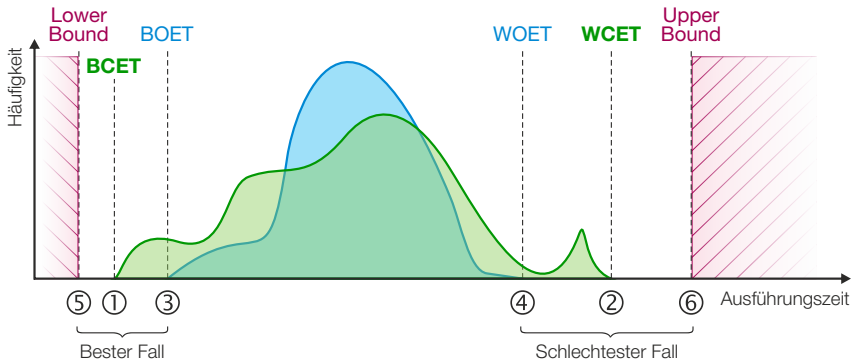


Messbasierte Ansätze unterschätzen die WCET meistens

Systematischere Analysetechniken sind vonnöten



Überblick: Statische WCET-Analyse



- Statische WCET-Analyse liefert **Schranken**:
 - 5 Geschätzte untere Schranke (**Lower Bound**)
 - 6 Geschätzte obere Schranke (**Upper Bound**)
- Die Analyse ist **sicher** (sound) falls $\text{Upper Bound} \geq \text{WCET}$



Problem: Längster Pfad

Beispiel: Bubblesort

```
void bubbleSort(int a[],int size) {
    int i,j;
    for(i = size - 1; i > 0; --i) {
        for (j = 0; j < i; ++j) {
            if(a[j] > a[j+1]) {
                swap(&a[j],&a[j+1]);
            }
        }
    }
    return;
}
```



Beispiel: Bubblesort

```
void bubbleSort(int a[], int size) {  
    int i, j;  
  
    for(i = size - 1; i > 0; --i) {  
        for (j = 0; j < i; ++j) {  
            if(a[j] > a[j+1]) {  
                swap(&a[j], &a[j+1]);  
            }  
        }  
    }  
    return;  
}
```

Aufruf: `bubbleSort(a, size)`

- Anzahl von Durchläufen, Vergleichen und Vertauschungen (engl. **Swap**)
 - $a = \{1, 2\}$, $size = 2$
 $\rightsquigarrow D = 1, V = 1, S = 0;$
 - $a = \{1, 3, 2\}$, $size = 3$
 $\rightsquigarrow D = 3, V = 3, S = 1;$
 - $a = \{3, 2, 1\}$, $size = 3$
 $\rightsquigarrow D = 3, V = 3, S = 3;$



Beispiel: Bubblesort

```
void bubbleSort(int a[], int size) {  
    int i, j;  
  
    for(i = size - 1; i > 0; --i) {  
        for (j = 0; j < i; ++j) {  
            if(a[j] > a[j+1]) {  
                swap(&a[j], &a[j+1]);  
            }  
        }  
    }  
    return;  
}
```

Aufruf: `bubbleSort(a, size)`

- Anzahl von Durchläufen, Vergleichen und Vertauschungen (engl. **Swap**)
 - $a = \{1, 2\}$, $size = 2$
 $\rightsquigarrow D = 1, V = 1, S = 0;$
 - $a = \{1, 3, 2\}$, $size = 3$
 $\rightsquigarrow D = 3, V = 3, S = 1;$
 - $a = \{3, 2, 1\}$, $size = 3$
 $\rightsquigarrow D = 3, V = 3, S = 3;$

- ist für den **allgemeinen Fall** nicht berechenbar \rightsquigarrow Halteproblem
 - Wie viele Schleifendurchläufe werden benötigt?



- Wiederrum statische Analyse des **Kontrollfluss-** und **Aufrufgraphen**
 - Pfadanalyse \rightsquigarrow Nur **maximale Pfadlänge** von belang
 - Ausrollen von Schleifen (siehe Folie VI/5)

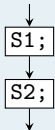


Lösungsweg₁: Timing Schema

Eine einfache Form der Sammelsemantik (siehe Folie V/15)

Sequenzen \leadsto Hintereinanderausführung

```
S1();  
S2();
```



Lösungsweg₁: Timing Schema

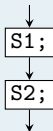
Eine einfache Form der Sammelsemantik (siehe Folie V/15)

Sequenzen \leadsto Hintereinanderausführung

`S1();
S2();`

Summation der WCETs:

$$e_{\text{seq}} = e_{S1} + e_{S2}$$



Lösungsweg₁: Timing Schema

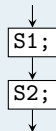
Eine einfache Form der Sammelsemantik (siehe Folie V/15)

Sequenzen \leadsto Hintereinanderausführung

```
S1();  
S2();
```

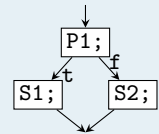
Summation der WCETs:

$$e_{seq} = e_{S1} + e_{S2}$$



Verzweigung \leadsto bedingte Ausführung

```
if(P1())  
  S1();  
else S2();
```



Lösungsweg₁: Timing Schema

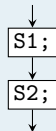
Eine einfache Form der Sammelsemantik (siehe Folie V/15)

Sequenzen \leadsto Hintereinanderausführung

```
s1();  
s2();
```

Summation der WCETs:

$$e_{seq} = e_{s1} + e_{s2}$$

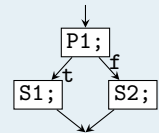


Verzweigung \leadsto bedingte Ausführung

```
if(P1())  
  s1();  
else  
  s2();
```

Abschätzung der Gesamt-
ausführungszeit:

$$e_{cond} = e_{P1} + \max(e_{s1}, e_{s2})$$



Lösungsweg₁: Timing Schema

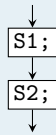
Eine einfache Form der Sammelsemantik (siehe Folie V/15)

Sequenzen \leadsto Hintereinanderausführung

```
s1();  
s2();
```

Summation der WCETs:

$$e_{seq} = e_{s1} + e_{s2}$$

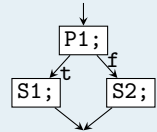


Verzweigung \leadsto bedingte Ausführung

```
if(P1())  
  s1();  
else s2();
```

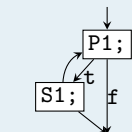
Abschätzung der Gesamt-
ausführungszeit:

$$e_{cond} = e_{P1} + \max(e_{s1}, e_{s2})$$



Schleifen \leadsto wiederholte Ausführung

```
while(P1())  
  s1();
```



Lösungsweg₁: Timing Schema

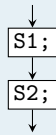
Eine einfache Form der Sammelsemantik (siehe Folie V/15)

Sequenzen \leadsto Hintereinanderausführung

```
s1();  
s2();
```

Summation der WCETs:

$$e_{seq} = e_{s1} + e_{s2}$$

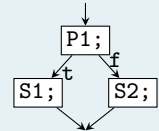


Verzweigung \leadsto bedingte Ausführung

```
if(P1())  
  s1();  
else s2();
```

Abschätzung der Gesamt-ausführungszeit:

$$e_{cond} = e_{P1} + \max(e_{s1}, e_{s2})$$

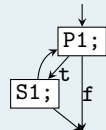


Schleifen \leadsto wiederholte Ausführung

```
while(P1())  
  s1();
```

Schleifendurchläufe berücksichtigen:

$$e_{loop} = e_{P1} + n(e_{P1} + e_{s1})$$



■ Eigenschaften

- Traversierung des abstrakten Syntaxbaums (AST) **bottom-up**
 - d. h. an den Blättern beginnend, bis man zur Wurzel gelangt
- **Aggregation** der maximale Ausführungszeit nach festen Regeln
 - für Sequenzen, Verzweigungen und Schleifen

■ Eigenschaften

- Traversierung des abstrakten Syntaxbaums (AST) **bottom-up**
 - d. h. an den Blättern beginnend, bis man zur Wurzel gelangt
- **Aggregation** der maximale Ausführungszeit nach festen Regeln
 - für Sequenzen, Verzweigungen und Schleifen

■ Vorteile

- + einfaches Verfahren mit geringem Berechnungsaufwand
- + skaliert gut mit der Programmgröße



■ Eigenschaften

- Traversierung des abstrakten Syntaxbaums (AST) **bottom-up**
 - d. h. an den Blättern beginnend, bis man zur Wurzel gelangt
- **Aggregation** der maximale Ausführungszeit nach festen Regeln
 - für Sequenzen, Verzweigungen und Schleifen

■ Vorteile

- + einfaches Verfahren mit geringem Berechnungsaufwand
- + skaliert gut mit der Programmgröße

■ Nachteile

- Informationsverlust durch Aggregation
 - Korrelationen (z. B. sich ausschließende Zweige) nicht-lokalen Codeteile lassen sich nicht berücksichtigen
 - Schwierige Integration mit einer separaten Hardware-Analyse
- Nichtrealisierbare Pfade (infeasible paths) nicht ausschließbar
 - ~ unnötige Überapproximation



Pfadbasierte Bestimmung der WCET

Mit der Anzahl f_i der Ausführungen einer Kante E_i bestimmt man die WCET e durch Summation der Ausführungszeiten des längsten Pfades:

$$e = \max_P \sum_{E_i \in P} f_i e_i$$



Pfadbasierte Bestimmung der WCET

Mit der Anzahl f_i der Ausführungen einer Kante E_i bestimmt man die WCET e durch Summation der Ausführungszeiten des längsten Pfades:

$$e = \max_P \sum_{E_i \in P} f_i e_i$$

Problem: Erfordert die explizite Aufzählung aller Pfade

~ Das ist algorithmisch nicht handhabbar



Pfadbasierte Bestimmung der WCET

Mit der Anzahl f_i der Ausführungen einer Kante E_i bestimmt man die WCET e durch Summation der Ausführungszeiten des längsten Pfades:

$$e = \max_P \sum_{E_i \in P} f_i e_i$$

Problem: Erfordert die explizite Aufzählung aller Pfade

~ Das ist algorithmisch nicht handhabbar

Lösung: Fasse die Bestimmung der WCET als Flussproblem auf

- ~ Der **maximale Fluss** durch das durch den Graphen gegebene Netzwerk führt zur gesuchten WCET
- ~ Flussprobleme sind mathematisch gut untersucht und lassen sich durch **lineare Ganzzahlprogrammierung** lösen



Lösungsansatz₂: Implicit Path Enumeration Technique

- ☞ Lösungsansatz: Bestimmung der WCET als Flussproblem auffassen
~~> Implicit Path Enumeration Technique (IPET) [2]

¹<http://lpsolve.sourceforge.net/>

Lösungsansatz₂: Implicit Path Enumeration Technique

- ☞ **Lösungsansatz:** Bestimmung der WCET als Flussproblem auffassen
~~> **Implicit Path Enumeration Technique (IPET) [2]**
- **Vorgehen:** Transformation des Kontrollflussgraphen in ein ganzzahliges, lineares Optimierungsproblem (ILP)
 - 1 Bestimmung des **Zeitanalysegraphs** aus dem Kontrollflussgraphen
 - 2 Abbildung auf ein **lineare Optimierungsproblem**
 - 3 Annotation von **Flussrestriktionen**
 - Nebenbedingungen im Optimierungsproblem
 - 4 Lösung des Optimierungsproblems (z.B. mit **Ipsolve¹**)

¹<http://lpsolve.sourceforge.net/>

Der Zeitanalysegraph (engl. *timing analysis graph*)

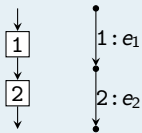
- Ein **Zeitanalysegraph (T-Graph)** ist ein gerichteter Graph mit einer Menge von Knoten $\mathcal{V} = \{V_i\}$ und Kanten $\mathcal{E} = \{E_i\}$.
 - mit genau einer **Quelle** und einer **Senke**
 - Knoten, aus denen/in die nur Kanten entspringen/münden
 - jede Kante ist Bestandteile eines Pfads P von der Senke zur Kante
 - solche ein Pfad P entspricht einer möglichen Abarbeitung
 - jeder Kante wird ihre WCET e_i zugeordnet



Der Zeitanalysegraph (engl. *timing analysis graph*)

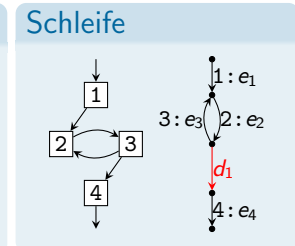
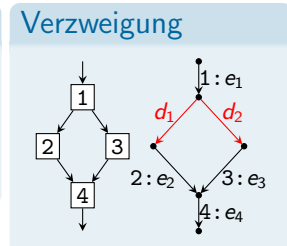
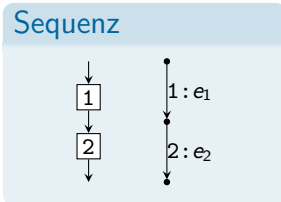
- Ein **Zeitanalysegraph (T-Graph)** ist ein gerichteter Graph mit einer Menge von Knoten $\mathcal{V} = \{V_i\}$ und Kanten $\mathcal{E} = \{E_i\}$.
 - mit genau einer **Quelle** und einer **Senke**
 - Knoten, aus denen/in die nur Kanten entspringen/münden
 - jede Kante ist Bestandteile eines Pfads P von der Senke zur Kante
 - solche ein Pfad P entspricht einer möglichen Abarbeitung
 - jeder Kante wird ihre WCET e_i zugeordnet
- Grundblöcke des Kontrollflussgraphen werden auf Kanten abgebildet

Sequenz



Der Zeitanalysegraph (engl. *timing analysis graph*)

- Ein **Zeitanalysegraph (T-Graph)** ist ein gerichteter Graph mit einer Menge von Knoten $\mathcal{V} = \{V_i\}$ und Kanten $\mathcal{E} = \{E_i\}$.
 - mit genau einer **Quelle** und einer **Senke**
 - Knoten, aus denen/in die nur Kanten entspringen/münden
 - jede Kante ist Bestandteile eines Pfads P von der Senke zur Kante
 - solche ein Pfad P entspricht einer möglichen Abarbeitung
 - jeder Kante wird ihre WCET e_i zugeordnet
- Grundblöcke des Kontrollflussgraphen werden auf Kanten abgebildet
 - für Verzweigungen benötigt man **Dummy-Kanten d_i**



Ganzzahliges Lineares Optimierungsproblem

Zielfunktion: Maximierung des gewichteten Flusses

$$\text{WCET}_e = \max_{(f_1, \dots, f_e)} \sum_{E_i \in \mathcal{E}} f_i e_i$$

↗ der Vektor (f_1, \dots, f_e) maximiert die Ausführungszeit



Zielfunktion: Maximierung des gewichteten Flusses

$$\text{WCET}_e = \max_{(f_1, \dots, f_e)} \sum_{E_i \in \mathcal{E}} f_i e_i$$

↪ der Vektor (f_1, \dots, f_e) maximiert die Ausführungszeit

Nebenbedingungen garantieren tatsächlich mögliche Ausführungen

- **Flusserhaltung** für jeden Knoten des T-Graphen

$$\sum_{E_j^+ = V_i} f_j = \sum_{E_k^- = V_i} f_k$$

- **Flussrestriktionen** für alle Schleifen des T-Graphen, z.B.

$$f_2 \leq (\text{size} - 1)f_1$$

- **Rückkehrkante** kann nur einmal durchlaufen werden: $f_{E_e} = 1$



- Betrachtet implizit alle Pfade des Kontrollflussgraphen
 - Erzeugung des Zeitanalysegraphen
 - Überführung in ganzzahliges lineares Optimierungsproblem



- Betrachtet implizit alle Pfade des Kontrollflussgraphen
 - Erzeugung des Zeitanalysegraphen
 - Überführung in ganzzahliges lineares Optimierungsproblem
- Vorteile
 - + Möglichkeit komplexer Flussrestriktionen
 - z. B. sich ausschließende Äste aufeinanderfolgender Verzweigungen
 - + Nebenbedingungen für das ILP sind leicht aufzustellen
 - + Viele Werkzeuge zur Lösung von ILPs verfügbar



- Betrachtet implizit alle Pfade des Kontrollflussgraphen
 - Erzeugung des Zeitanalysegraphen
 - Überführung in ganzzahliges lineares Optimierungsproblem
- **Vorteile**
 - + Möglichkeit komplexer Flussrestriktionen
 - z. B. sich ausschließende Äste aufeinanderfolgender Verzweigungen
 - + Nebenbedingungen für das ILP sind leicht aufzustellen
 - + Viele Werkzeuge zur Lösung von ILPs verfügbar
- **Nachteile**
 - Lösen eines ILP ist im Allgemeinen **NP-hart**
 - Flussrestriktionen sind kein Allheilmittel
 - Beschreibung der Ausführungsreihenfolge ist problematisch



- Kenntnis der Ausführungszeit von Elementaroperationen ist **essentiell**



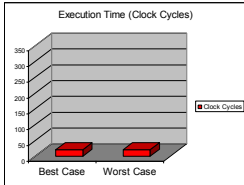
Problem Ausführungszeit von Elementaroperationen

Die Crux mit der Hardware

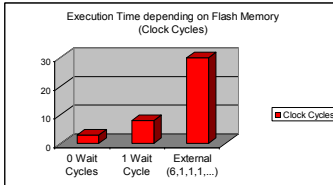
- Kenntnis der **Ausführungszeit** von Elementaroperationen ist **essentiell**
- Die Berechnung ist alles andere als einfach, ein Beispiel:

```
1  /* x = a + b */  
2  LOAD r2, _a  
3  LOAD r1, _b  
4  ADD r3, r2, r1
```

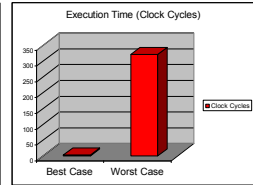
68K (1990)



MPC 5xx (2000)



PPC 755 (2001)



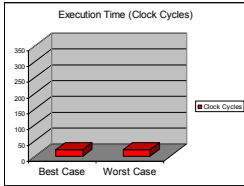
Problem Ausführungszeit von Elementaroperationen

Die Crux mit der Hardware

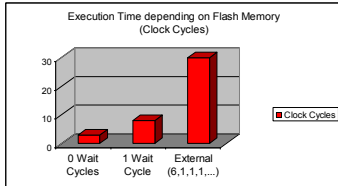
- Kenntnis der **Ausführungszeit** von Elementaroperationen ist **essentiell**
- Die Berechnung ist alles andere als einfach, ein Beispiel:

```
1  /* x = a + b */  
2  LOAD r2, _a  
3  LOAD r1, _b  
4  ADD r3, r2, r1
```

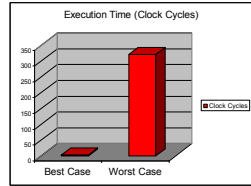
68K (1990)



MPC 5xx (2000)



PPC 755 (2001)



Laufzeitbedarf ist hochgradig **Hardware-** und **kontextspezifisch**

- Hardware-Analyse teilt sich in verschiedene Phasen
 - Aufteilung ist nicht dogmenhaft festgeschrieben



- ☞ Hardware-Analyse teilt sich in verschiedene Phasen
 - Aufteilung ist nicht dogmenhaft festgeschrieben
- **Integration** von Pfad- und Cache-Analyse
 - 1 Pipeline-Analyse
 - Wie lange dauert die Ausführung der Instruktionssequenz?
 - 2 Cache- und Pfad-Analyse sowie WCET-Berechnung
 - Cache-Analyse wird direkt in das Optimierungsproblem integriert



- ☞ Hardware-Analyse teilt sich in verschiedene Phasen
 - Aufteilung ist nicht dogmenhaft festgeschrieben
- **Integration** von Pfad- und Cache-Analyse
 - 1 Pipeline-Analyse
 - Wie lange dauert die Ausführung der Instruktionssequenz?
 - 2 Cache- und Pfad-Analyse sowie WCET-Berechnung
 - Cache-Analyse wird direkt in das Optimierungsproblem integriert
- **Separate** Pfad- und Cache-Analyse
 - 1 Cache-Analyse
 - kategorisiert Speicherzugriffe mit Hilfe einer Datenflussanalyse
 - 2 Pipeline-Analyse
 - Ergebnisse der Cache-Analyse werden anschließend berücksichtigt
 - 3 Pfad-Analyse und WCET-Berechnung



1 Übersicht und Problemstellung

2 Speicherverbrauch

- Überblick
- Messbasierte Bestimmung
- Analytische Bestimmung

3 Ausführungszeit

- Überblick
- Dynamische WCET-Messung
- Statische WCET-Analyse

4 Zusammenfassung

5 Wiederholung: Redundanz



- **Dynamische Messung** \leadsto Beobachtung
 - Speicherverbrauch
 - Water-Marking \leadsto Füllstand des statischen Stapels zur Laufzeit
 - Überwachung durch Betriebssystem (Wächter)
 - Ausführungszeit
 - Durch (strukturiertes) Testen der Echtzeitanwendung
 - Betrachtung des Gesamtsystems (Software und Hardware)

- **Dynamische Messung** \leadsto Beobachtung
 - Speicherverbrauch
 - Water-Marking \leadsto Füllstand des statischen Stapels zur Laufzeit
 - Überwachung durch Betriebssystem (Wächter)
 - Ausführungszeit
 - Durch (strukturiertes) Testen der Echtzeitanwendung
 - Betrachtung des Gesamtsystems (Software und Hardware)
- **Statische Analyse** \leadsto Bestimmung einer **oberen Schranke**
 - Speicherverbrauch
 - Analyse des Kontroll- und Aufrufgraphen
 - Beachtung der Ausführungsbedingungen (ABI)
 - Ausführungszeit
 - **Makroskopisch:** *Was macht das Programm?*
 - **Mikroskopisch:** *Was passiert in der Hardware?*

1 Übersicht und Problemstellung

2 Speicherverbrauch

- Überblick
- Messbasierte Bestimmung
- Analytische Bestimmung

3 Ausführungszeit

- Überblick
- Dynamische WCET-Messung
- Statische WCET-Analyse

4 Zusammenfassung

5 Wiederholung: Redundanz



Zusammenfassung der letzten Vorlesung (Redundanz)

Fehlerarten \mapsto Toleranz von SDCs und DUEs

Redundanz \mapsto hat mehrere Dimensionen

- Grundvoraussetzung für Fehlertoleranz
- Redundanz in **Struktur**, **Funktion**, **Information**, oder **Zeit**
- Fehlererkennung, -diagnose, -eindämmung, -maskierung

Replikation \mapsto koordinierter Einsatz struktureller Redundanz

- Replikation der **Eingaben**, Abstimmung der **Ausgaben**
- Replikate für **fail-silent**, **fail-consistent**, **malicious**
- **Zeitliche** und **räumliche Isolation** einzelner Replikate

Hardwarebasierte Replikation \mapsto Umfassend und teuer

- Dreifache Auslegung, toleriert **Fehler im Wertebereich**
- Zuverlässigkeit von Replikat und Gesamtsystem

Softwarebasierte Replikation \mapsto Flexibel aber eingeschränkt

- Process Level Redundancy reduziert **Kosten** von TMR, zulasten eines geringeren Schutzes

Diversität \mapsto versucht **Gleichtaktfehler** auszuschließen



- [1] FERDINAND, C. ; HECKMANN, R. ; FRANZEN, B. :
Static memory and timing analysis of embedded systems code.
In: *Proceedings of the 3rd European Symposium on Verification and Validation of Software Systems*, 2007, S. 07–04
- [2] PUSCHNER, P. :
Zeitanalyse von Echtzeitprogrammen.
Treitlstr. 1-3/182-1, 1040 Vienna, Austria, Technische Universität Wien, Institut für Technische Informatik, Diss., 1993
- [3] PUSCHNER, P. ; HUBER, B. :
Zeitanalyse von sicherheitskritischen Echtzeitsystemen.
<http://ti.tuwien.ac.at/rts/teaching/courses/wcet>, 2012. –
Lecture Notes
- [4] REGEHR, J. ; REID, A. ; WEBB, K. :
Eliminating Stack Overflow by Abstract Interpretation.
In: *ACM Trans. Embed. Comput. Syst.* 4 (2005), Nov., Nr. 4, 751–778.
<http://dx.doi.org/10.1145/1113830.1113833>. –
DOI 10.1145/1113830.1113833. –
ISSN 1539–9087

- [5] ULRICH, P. :
Echtzeitsysteme.
http://www4.cs.fau.de/Lehre/WS14/V_EZS/, 2014
- [6] WEBER-WULFF, D. :
More on German Train Problems.
<http://catless.ncl.ac.uk/Risks/17.02.html>.
Version: 04 1995